

AFECCIÓN AÓRTICA EN LA ARTERITIS DE CÉLULAS GIGANTES

Sergio Prieto González

Grupo de Investigación en Vasculitis
Servicio de Enfermedades Autoinmunes
Hospital Clínic de Barcelona

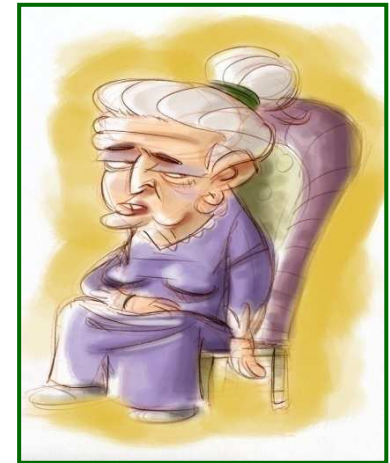
CLÍNIC
BARCELONA
Hospital Universitari

VI Reunión del GEAS
18 de Octubre de 2013



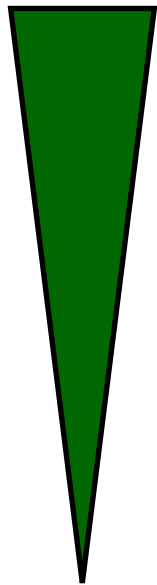
INTRODUCCIÓN

- Sistémica granulomatosa
-  : 
- Vasculitis más frecuente en > 50 años
- Vasculitis de gran vaso más frecuente en nuestro medio

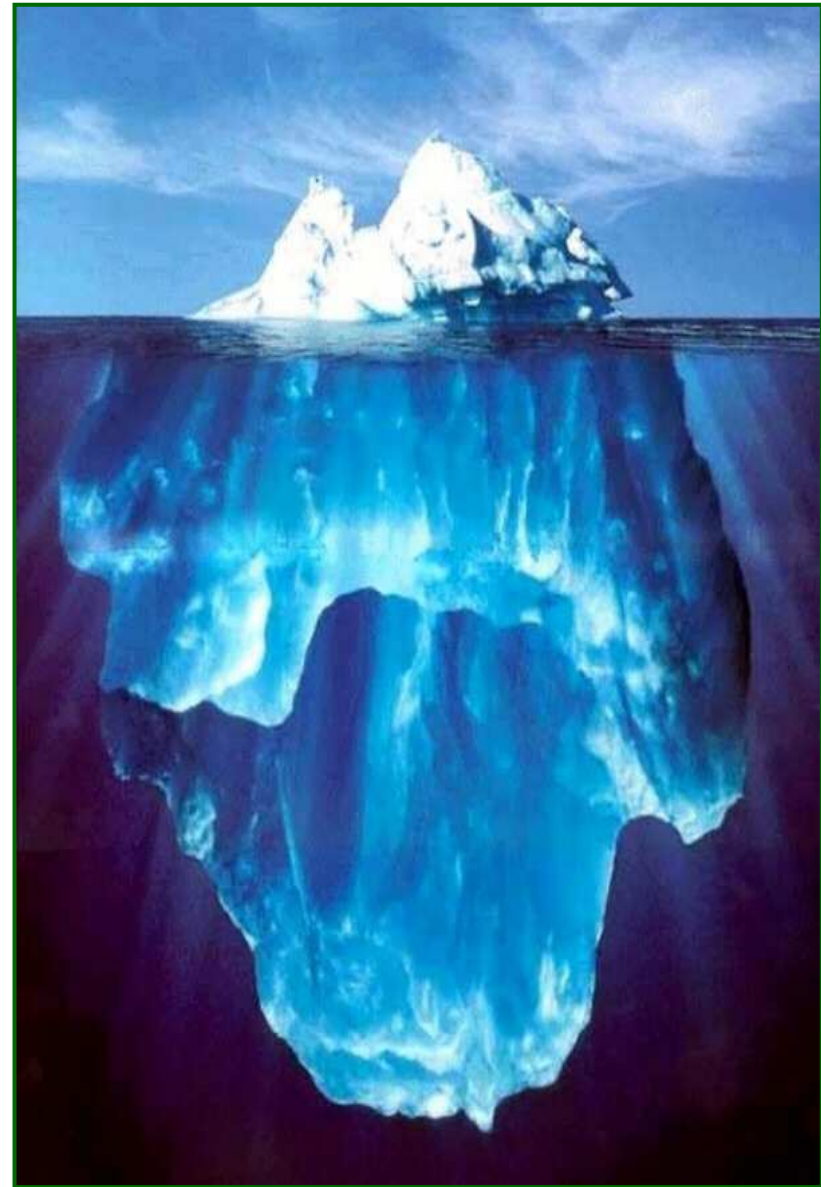
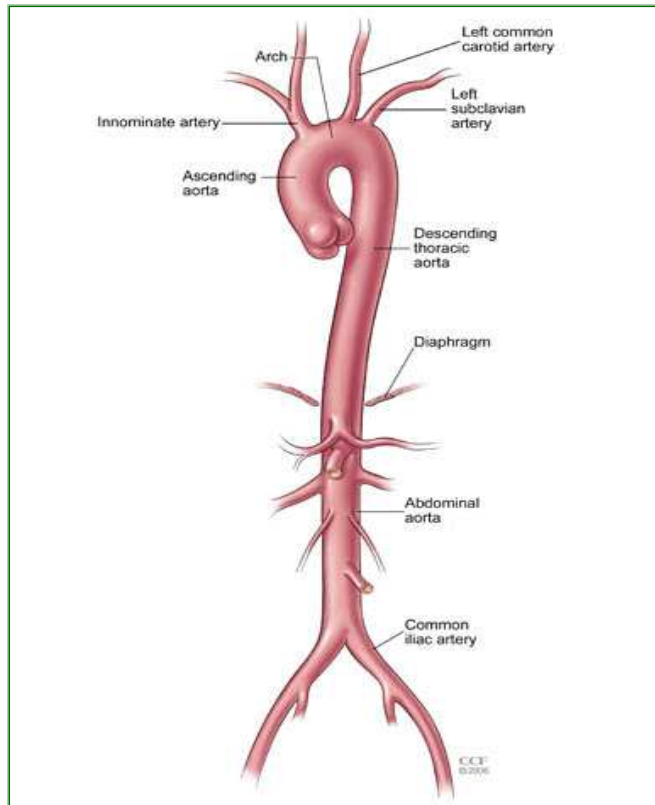
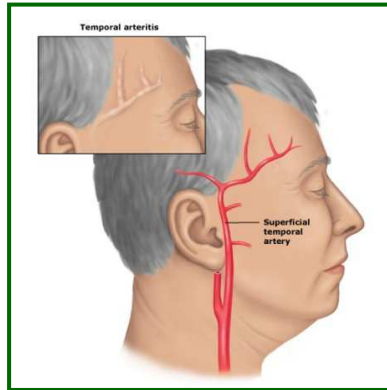


INTRODUCCIÓN

CLÍNICA



- Craneal 80%
- Sistémica 70-80%
- PMR 40-50%
- Isquémica (ocular) 20%



AFECTACIÓN AÓRTICA

① Tipo:

A. **AORTITIS** (inflamación)

B. **DILATACIÓN/ANEURISMA**

(daño estructural)

② Relación aortitis-dilatación

③ Diagnóstico de ACG

④ Morbimortalidad

⑤ Tratamiento

1A

AORTITIS

DETECCIÓN

Necropsias (casos) a finales 30s



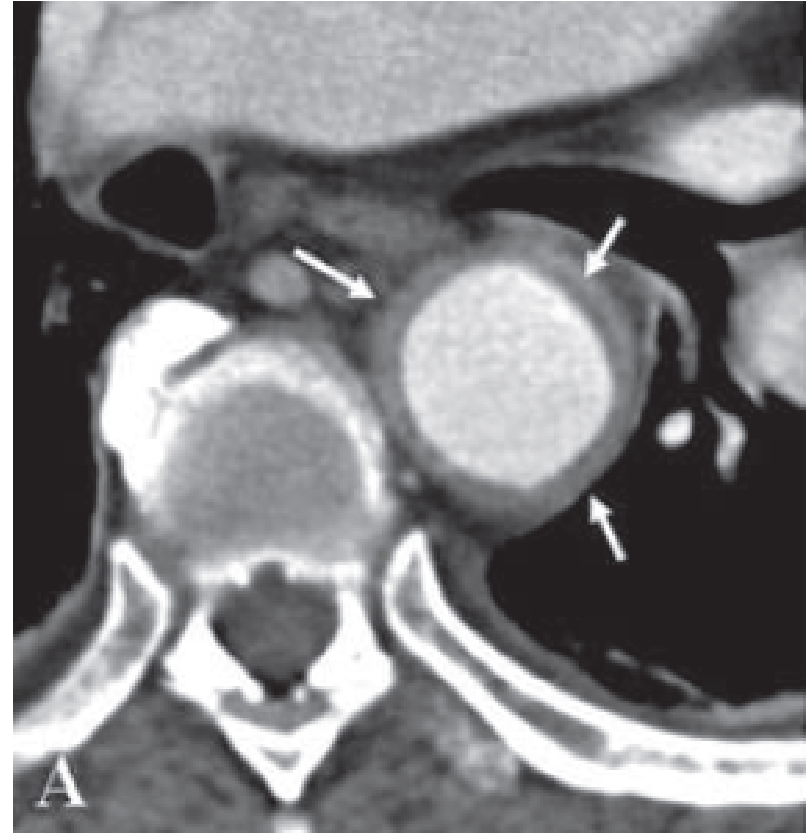
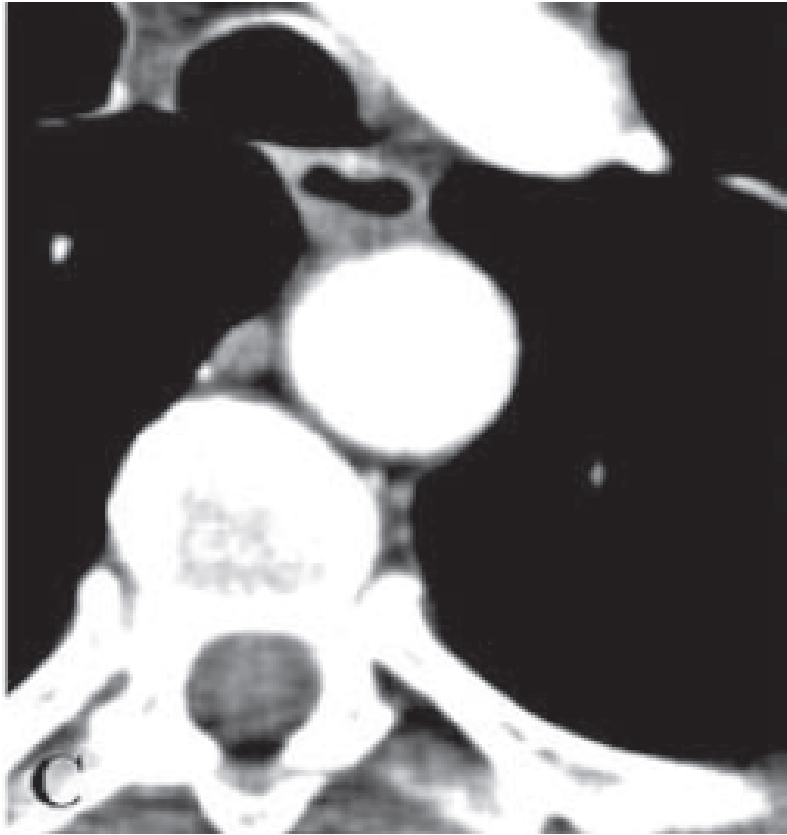
PREVALENCIA

- Sistemático prospectivo
- 13 necropsias → 12 inflamación → **>90%**
- Varios segmentos afectados
- Sesgo por casos más graves?

Sproul EE. Am J Path 1937
Gilmour JR. J Pathol Bacteriol 1941
Ostberg G. Acta Med Scand 1972

AORTITIS – Diagnóstico

Blockmans (Arthritis Rheum 2006)	Agard (Arthritis Rheum 2008)	Prieto-González (Ann Rheum Dis 2012)
PET	TC contraste	Angio-TC
35 pacientes	22 pacientes	40 pacientes
SIN tratamiento	1 ^{er} mes tratamiento	< 3 d de tratamiento
Global: 54% AT: 51% AA: 54%	Global: 45% AT: 45% AA: 27%	Global: 65% ATA: 30% C: 57,5% ATD: 57,5% AA: 47,5%

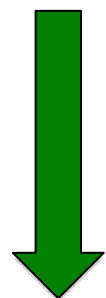


AORTITIS – Seguimiento

OUTCOME OF AORTIC INVOLVEMENT IN GIANT CELL ARTERITIS (GCA) AFTER 1-YEAR FOLLOW-UP: PROSPECTIVE STUDY USING COMPUTED TOMOGRAPHY ANGIOGRAPHY (CTA)

S. Prieto-González^{1,*}, P. Arguis², A. García-Martínez^{1,3}, M. Corbera-Bellalta¹, I. Tavera-Bahillo¹, G. Espígol-Frigolé¹, E. Planas-Rigol¹, M. A. Alba¹, J. Hernández-Rodríguez¹, M. C. Cid¹

¹Systemic Autoimmune Diseases, ²Center for Diagnostic Imaging, ³Department of Emergency Medicine, Hospital Clínic Barcelona, Barcelona, Spain



Serie inicial: 40

Perdidos: 5

Grupo de estudio: **35 pacientes**



No consentimiento: 3

Demencia: 1

?: 1

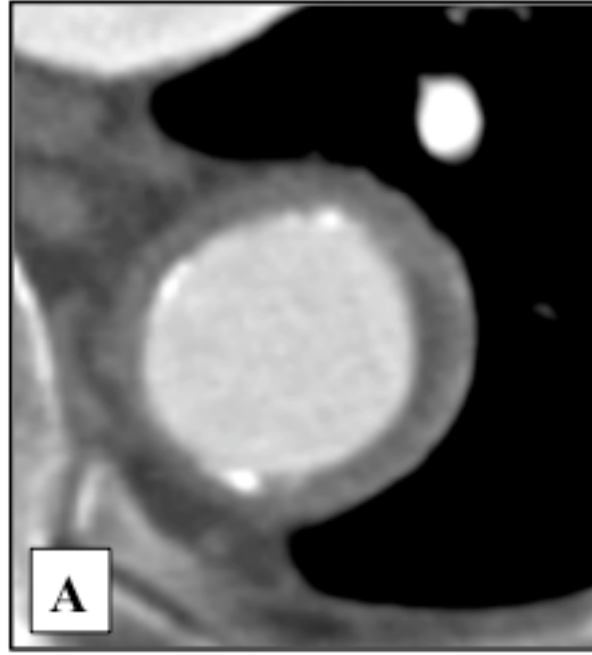
Visitas protocolizadas y tratamiento estandarizado
Angio-TC (igual protocolo)

	At diagnosis	One-year follow-up
Vascular territory involved	Number of patients (%)	Number of patients (%)
LVV	25 (71,4%)	17 (48,6%)
Aorta	24 (68,6%)	16 (45,7%)
Thoracic aorta	24 (68,6%)	
Ascending	10 (28,6%)	
Arch	19 (54,3%)	
Descending	21 (60%)	
Abdominal aorta	16 (45,7%)	
Panaortitis	8 (22,8%)	3 (8,6%)

2/3

		At diagnosis	At followup	p*
Aortic wall thickening (mm) †	Ascending thoracic aorta	1,51±0,81	1,22±0,59	0,018
	Aortic arch	2,31±1,02	1,77±0,87	0,002
	Descending thoracic aorta	2,74±1,06	2,02±0,95	<0,001
	Abdominal aorta	1,68±0,86	1,31±0,58	0,012

	At diagnosis					At one-year follow-up			
Patient	ATA	Ao Arch	DTA	AA		ATA	Ao Arch	DTA	AA
1									
2									
3									
4									
5									
6									
7									
8									
9									
10									
11									
12									
13									
14									
15									
16									
17									
18									
19									
20									
21									
22									
23									
24									
25									
26									
27									
28									
29									
30									



Patient	At diagnosis		At one-year follow-up	
	TA	AA	TA	AA
1				
2			NT	
3				
4				
5				
6				
7				
8				
9				
10			NT	NT
11				
12				
13			NT	NT
14				
15				
16				



DILATACIÓN

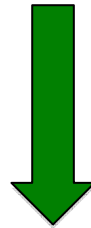
ESTUDIOS RETROSPECTIVOS

Evans (1995)	Nueninghoff (2003)	Kermani (2013)	González-Gay (2004)
98 p	168 p	204 p	210 p
1950-1985	1950-1999	1950-2004	1981-2001
8,6 a	7,6 a	8,8 a	---
16 (16,6%)	30 (18%)	33 (16%)	20 (9,5%)

*Evans JM et al. Ann Intern Med 1995
Robson JC et al. Ann Rheum Dis 2013 [Epub]
Nueninghoff DM et al. Arthritis Rheum 2003
Kermani TA et al. Ann Rheum Dis 2013 [Epub]
González-Gay et al. Medicine 2004*

DILATACIÓN

* Al diagnóstico: { 3/22 (13,6%)
6/40 (15%)



* 1 año seguimiento: sin cambios

DILATACIÓN

Development of Aortic Aneurysm/Dilatation During the Followup of Patients With Giant Cell Arteritis: A Cross-Sectional Screening of Fifty-Four Prospectively Followed Patients

ANA GARCÍA-MARTÍNEZ, JOSÉ HERNÁNDEZ-RODRÍGUEZ, PEDRO ARGUIS, PILAR PAREDES, MARTA SEGARRA, ESTER LOZANO, CARLOS NICOLAU, JOSÉ RAMÍREZ, FRANCESC LOMEÑA, MIGUEL JOSA, FRANCESCA PONS, AND MARIA C. CID

- 54 pacientes
- 5,4 años (4-10,5) de seguimiento y tto estándar
- Rx tórax +/- TC +/- ecografía abdominal

12 (22,2%) → dilatación/aneurisma (AT)

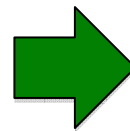
DILATACIÓN

EXTENDED REPORT

Prospective long term follow-up of a cohort of patients with giant cell arteritis screened for aortic structural damage (aneurysm or dilatation)

Ana García-Martínez,¹ Pedro Arguis,² Sergio Prieto-González,³
Georgina Espígol-Frigolé,³ Marco A Alba,³ Montserrat Butjosa,¹ Itziar Tavera-Bahillo,¹
José Hernández-Rodríguez,³ Maria C Cid³

2nd screening (n=36)
Follow-up period: 8.7 years (6.9-13.6)
Age of patients: 81 years (66-97)



3rd screening completed (n=14)
Folow-up period: 12.8 years (10.3-16)
Age of patients: 81 years (71-94)

DILATACIÓN

EXTENDED REPORT

Prospective long term follow-up of a cohort of patients with giant cell arteritis screened for aortic structural damage (aneurysm or dilatation)

Ana García-Martínez,¹ Pedro Arguis,² Sergio Prieto-González,³
Georgina Espígol-Frigolé,³ Marco A Alba,³ Montserrat Butjosa,¹ Itziar Tavera-Bahillo,¹
José Hernández-Rodríguez,³ Maria C Cid³

- 16 pacientes con aneurisma (33% - 29%)
- Primeros 5 años
- Progresión de la dilatación
- 8 con indicación quirúrgica (50%)
- 3 intervenidos

2

AORTITIS-DILATACIÓN

Relationship between fluorodeoxyglucose uptake in the large vessels and late aortic diameter in giant cell arteritis

D. Blockmans¹, W. Coudyzer², S. Vanderschueren¹, S. Stroobants³, D. Loeckx⁴, S. Heye², L. De Ceuninck³, G. Marchal² and H. Bobbaers¹

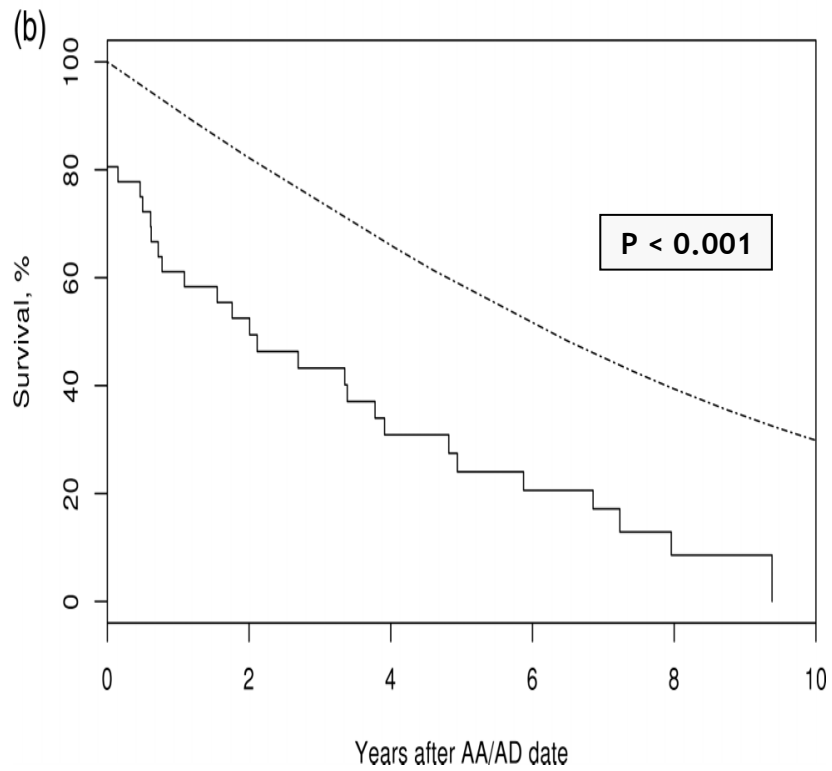
Aortic dimensions (mean ± s.d.)	FDG-uptake negative	FDG-uptake positive	P-value
▶ *4 Diameter of the ascending aorta (mm)	37.0 ± 2.8	40.4 ± 6.9	0.025
Diameter of the aortic arch (mm)	30.1 ± 3.6	31.2 ± 3.6	0.281
* Diameter of the descending aorta (mm)	30.6 ± 4.0	33.5 ± 5.3	0.044
* Volume of the thoracic aorta (cm ³)	253 ± 51	301 ± 81	0.029
▶ T Diameter of the suprarenal abdominal aorta (mm)	23.5 ± 3.0	25.5 ± 3.3	0.094
Diameter of the juxtarenal abdominal aorta (mm)	21.7 ± 2.5	22.8 ± 2.1	0.192
Diameter of the infrarenal abdominal aorta (mm)	20.0 ± 2.7	21.1 ± 3.6	0.629
Volume of the abdominal aorta (cm ³)	63 ± 19	64 ± 14	0.925

Table 1. Median survival of patients with GCA, by subgroup of large-artery complication*

Subgroup	No. of patients	Median survival after diagnosis of GCA, years	IQR	<i>P</i> †
No large-artery complication	122	10.9	5.2–18.1	NA
Any large-artery complication	46	10.6	3.1–20.1	0.84
Aortic aneurysm and/or dissection	30	9.6	2.1–20.1	0.99
Aortic aneurysm	25	14.1	5.0–20.7	0.33
Thoracic aortic aneurysm	13	12.3	5.0–20.7	0.43
Abdominal aortic aneurysm	16	14.1	4.0–20.7	0.55
Aortic dissection	10	1.6	0.2–7.8	<0.001
Thoracic aortic dissection	9	1.1	0.2–7.8	<0.001
Abdominal aortic dissection	1	7.8	NA	NA
Large-artery stenosis	21	10.6	4.9–20.4	0.55
Cervical artery stenosis	15	8.6	4.7–19.3	0.86
Subclavian/axillary/brachial artery stenosis	6	16.5	4.7–22.8	NA
Lower-extremity artery stenosis	1	20.4	NA	NA

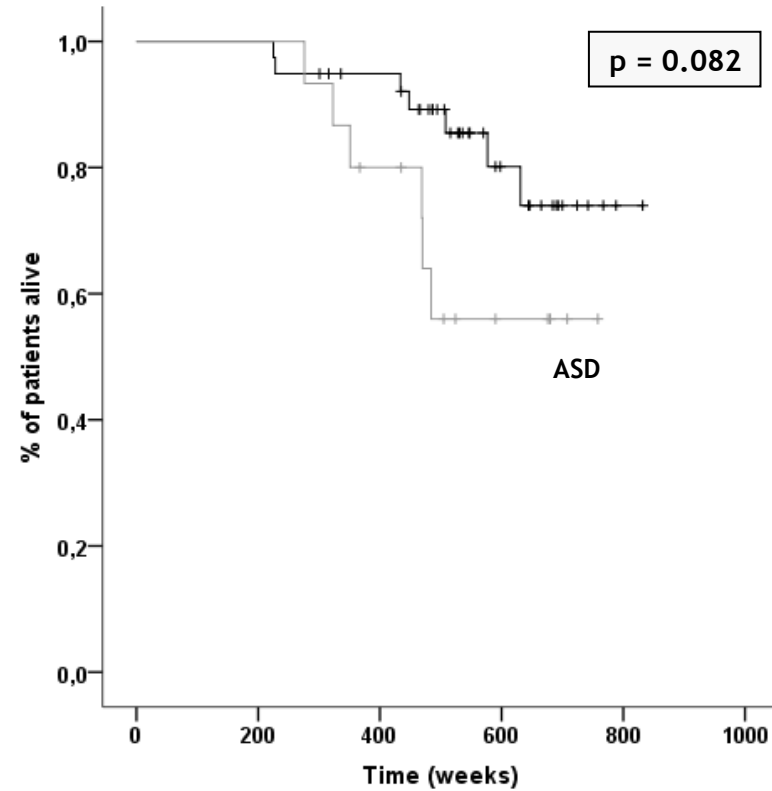
* Some patients had >1 complication (see ref. 30). GCA = giant cell arteritis; IQR = interquartile range; NA = not applicable (due to limited sample size).

† By log rank test, versus group without any large-artery complication.



(CV y pulmonar)

Kermani TA et al.
Ann Rheum Dis 2013 [Epub ahead of print]



(global)

García-Martínez A et al.
Ann Rheum Dis 2013 [Epub ahead of print]



DIAGNÓSTICO DE ACG

- ✧ **Biopsia de arteria temporal**
- ✧ Eco-doppler arteria temporal (meta-análisis)
- ✧ Detección de afectación de GV: PET – PET/TC

Diagnostic performance of ^{18}F -fluorodeoxyglucose positron emission tomography in giant cell arteritis: a systematic review and meta-analysis

**Florent L. Besson • Jean-Jacques Parienti •
Boris Bienvenu • John O. Prior • Sylvie Costo •
Gerard Bouvard • Denis Agostini**

6 estudios: 101 VGV / 182 controles

S 80% - E 89% - VPP 85% – VPN 88%

Estudios heterogéneos

Escala visual / semicuantitativa → Difícil extrapolación

Influencia de aterosclerosis

EULAR13-3141

DIAGNOSTIC PERFORMANCE OF PET/CT IN PATIENTS WITH NEWLY DIAGNOSED, BIOPSY-PROVEN, GIANT-CELL ARTERITIS. A PROSPECTIVE, CASE-CONTROL STUDY USING ROC ANALYSIS AT DIFFERENT VASCULAR TERRITORIES

S. Prieto-González^{1,*}, M. Depetris², A. García-Martínez³, G. Espígol-Frigolé¹, E. Planas-Rigol¹, M. Corbera-Bellalta¹, I. Tavera-Bahillo¹, M. Butjosa¹, M. A. Alba¹, J. M. Grau⁴, J. Hernández-Rodríguez¹, F. Lomeña², M. C. Cid¹

¹Systemic Autoimmune Diseases, ²Centre for Diagnostic Imaging, ³Emergency Medicine, ⁴Internal Medicine, Hospital Clínic, Barcelona, Spain

Estudio prospectivo caso/control (32/20) con PET/TC
SUVm en TSA, TIF y Ao
Curvas ROC

* TSA: AUC 0,826 – cut-off de 1,70 (S 81% - E 79%; p<0,001)

* Ao: AUC 0,740 – cut-off de 2,25 (S 90% - E 42%; p=0,001)



Objetivo y reproducible

- No estudios de intervención
- Aortitis: relación con detección inicial (29 vs 77%)
no relación con persistencia (?)
- Aneurisma: menos tratamiento (menos rebrotes)
- RECOMENDACIÓN: tratamiento estándar

CONCLUSIONES (I)

- ▷ Frecuente afectación de GV en ACG
- ▷ Aortitis:
 - Al diagnóstico 45-65%
 - Seguimiento al año: 2/3 (no actividad – remodelado vascular?)
- ▷ Dilatación:
 - Mayor riesgo poblacional
 - Retrospectivo: 9,5-18%
 - Prospectivo: 22,2-33% (5 primeros años)

CONCLUSIONES (II)

- ▷ Relación inflamación – daño estructural ?:
 - Prevalencia/distribución diferente
 - Intensidad de la inflamación +/- remodelado vascular +/- factores hemodinámicos
- ▷ Influencia en morbimortalidad
- ▷ Utilidad en el diagnóstico de ACG: PET
- ▷ Tratamiento habitual de ACG
- ▷ Despistaje / seguimiento recomendado ?

